



Protection contre la foudre des structures et zones urbanisées

Par Quentin ROUCH

Numéro de candidat : **32448**

Problématique

❓ *Comment évaluer la protection fournie par un paratonnerre ?*

Objectifs



S'approprier le phénomène



Développer un modèle



Étude de cas concrets



Préliminaire

Principe du paratonnerre
Déroulement d'un orage



Simulation

Modélisation et mise en
équation du problème
Effet de pointe
Modèle de propagation
d'un éclair
Optimisation



Validation

Densité de foudroisement
Maquette
Protocole expérimental
Caractéristiques électriques de
la maquette
Comparaison maquette simulation

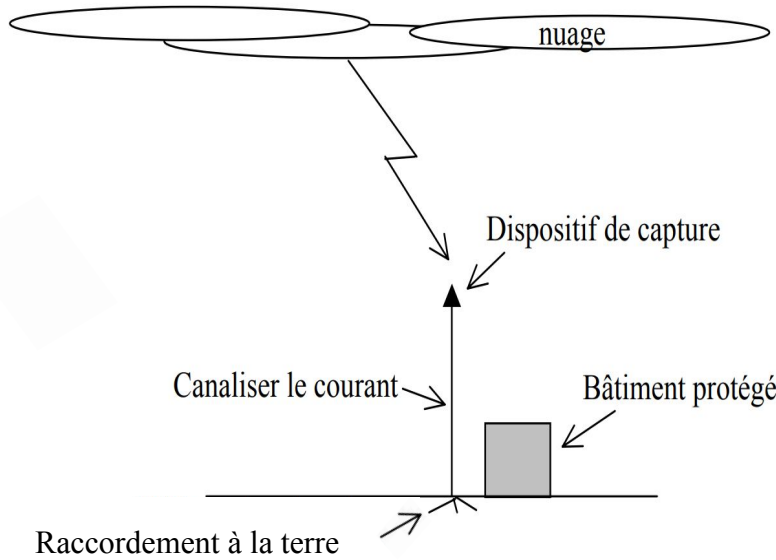
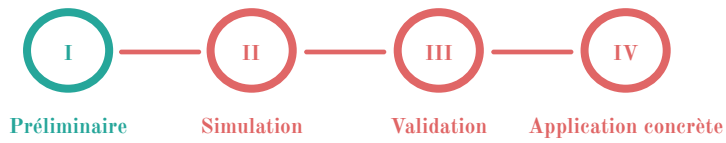


Application concrète

Cas concret n° 1
géométrie simple
Cas concret n° 2
géométrie quelconque

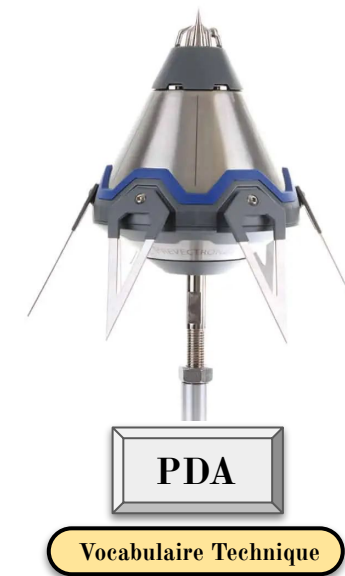
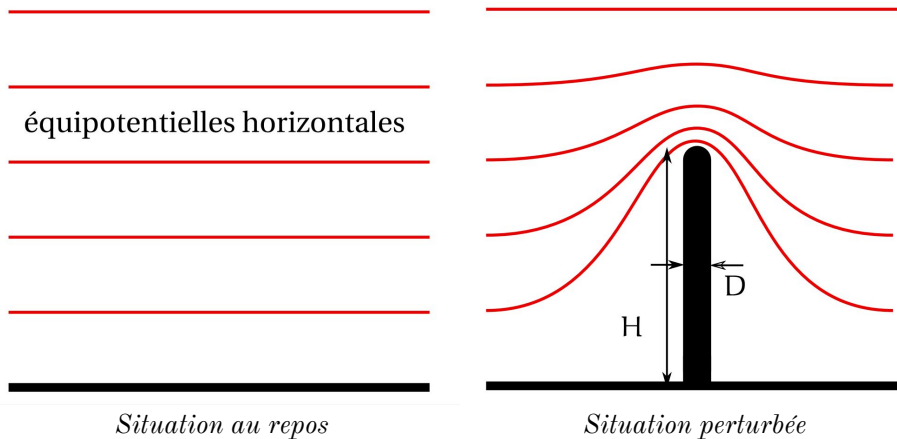
Principe du paratonnerre

1/2



? *Comment modéliser numériquement ce phénomène ?*

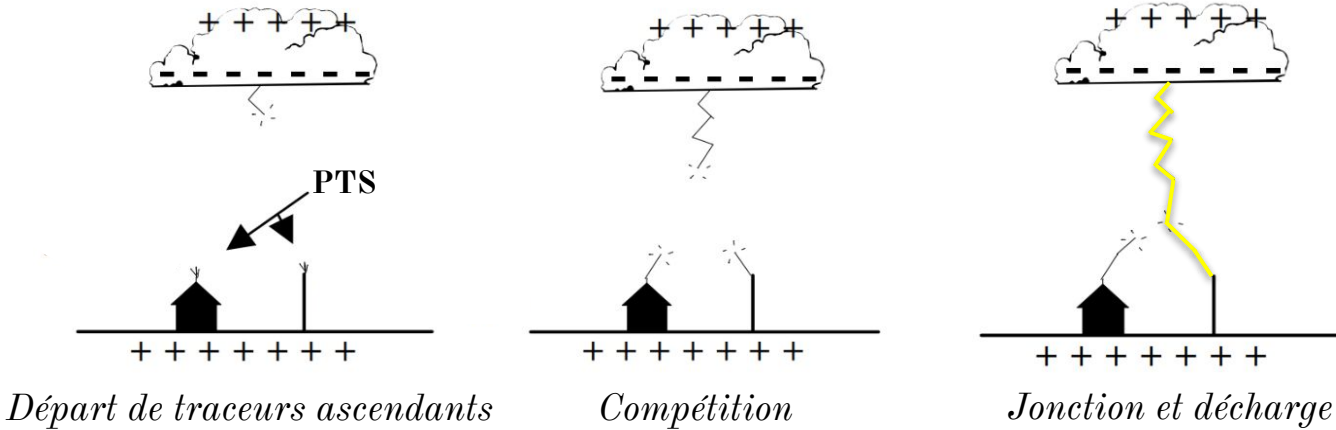
? *Quelle différence lors d'un foudroiement ?*



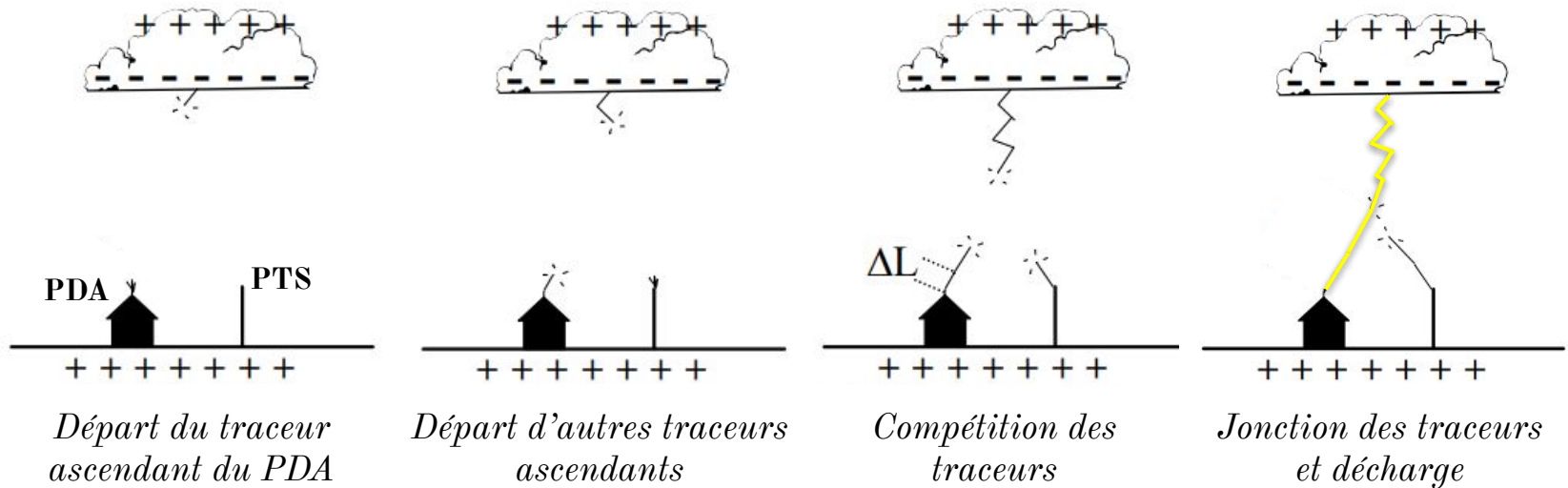


Déroulement d'un orage

2/2



Traceur descendant $\rightarrow E_{sol} \nearrow \rightarrow$ Pré-décharges $\rightarrow E_{sol} = E_{cri} \rightarrow$ Traceurs ascendants

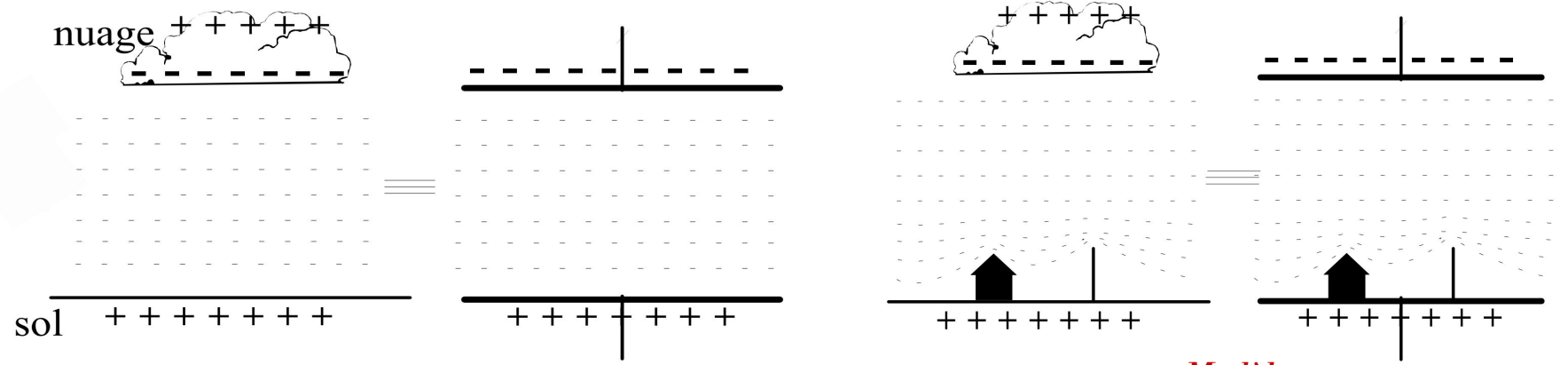




Préliminaire Simulation Validation Application concrète

Mise en équations du problème

1/6

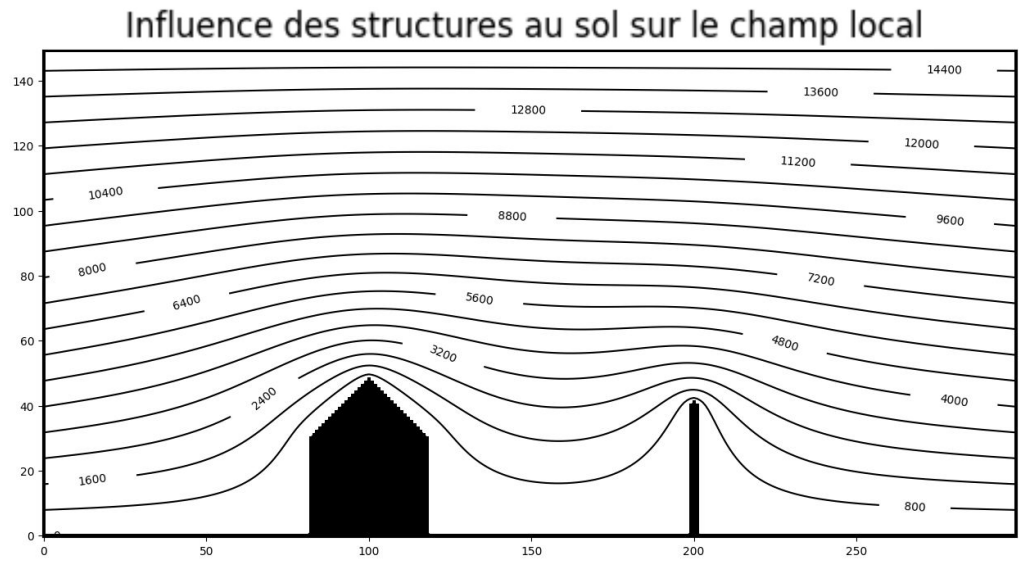


Modèle

- Discrétisation
- Conditions aux limites
- Équation de Laplace

$\Delta V = 0$ → (Méthode de Jacobi) V en tout point

+ *Tracé des équipotentiels*



Implémentation Python

Annexe 1



Préliminaire Simulation Validation Application concrète

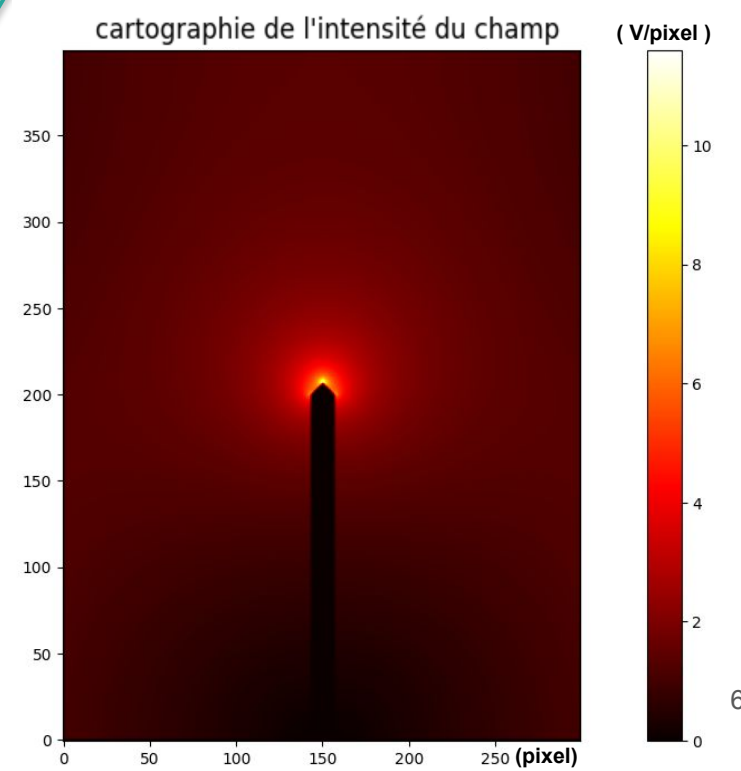
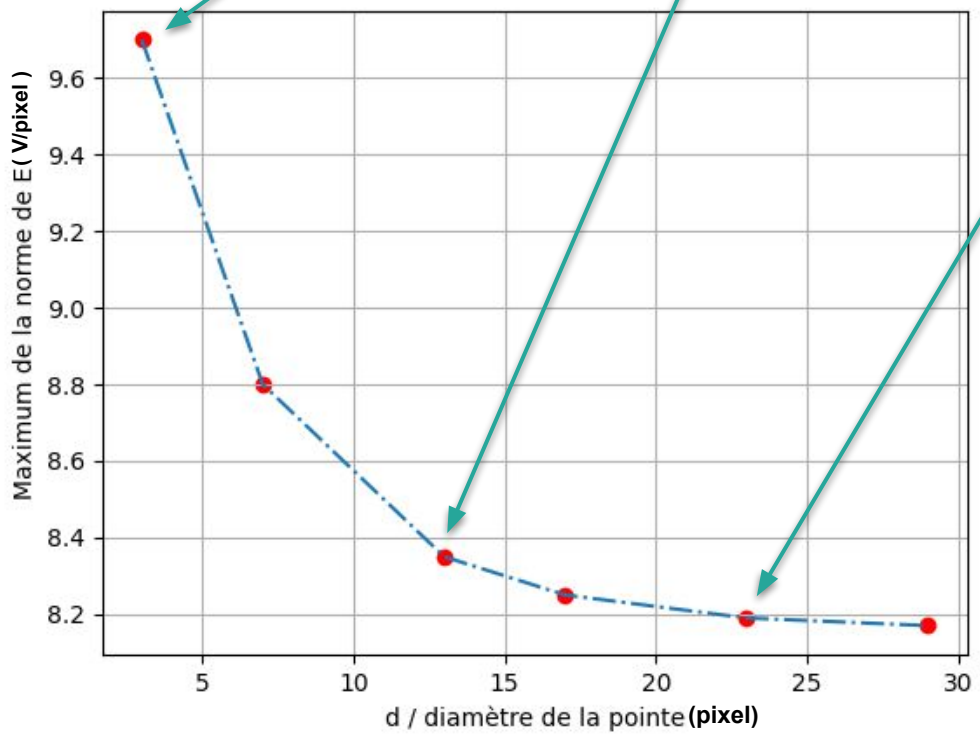
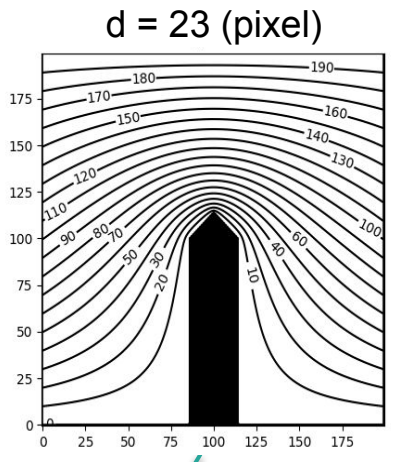
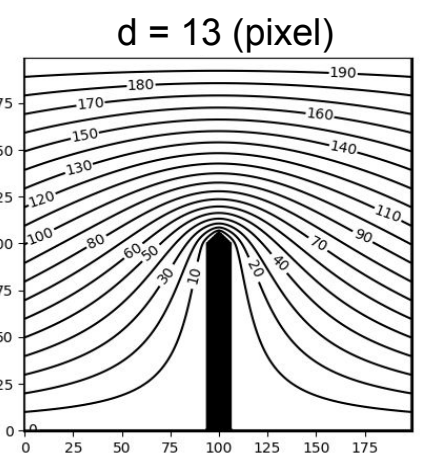
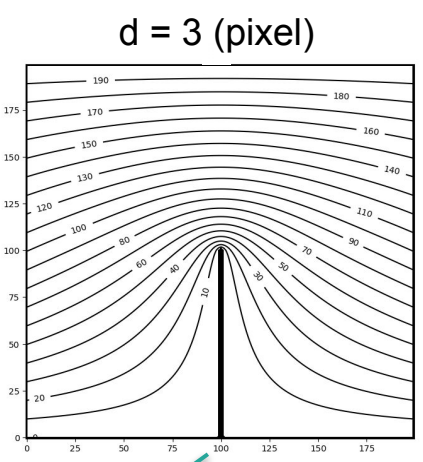
Effet de pointe

Annexe 2

$-\text{grad } V$

Approximation discrète

Norme de \vec{E}

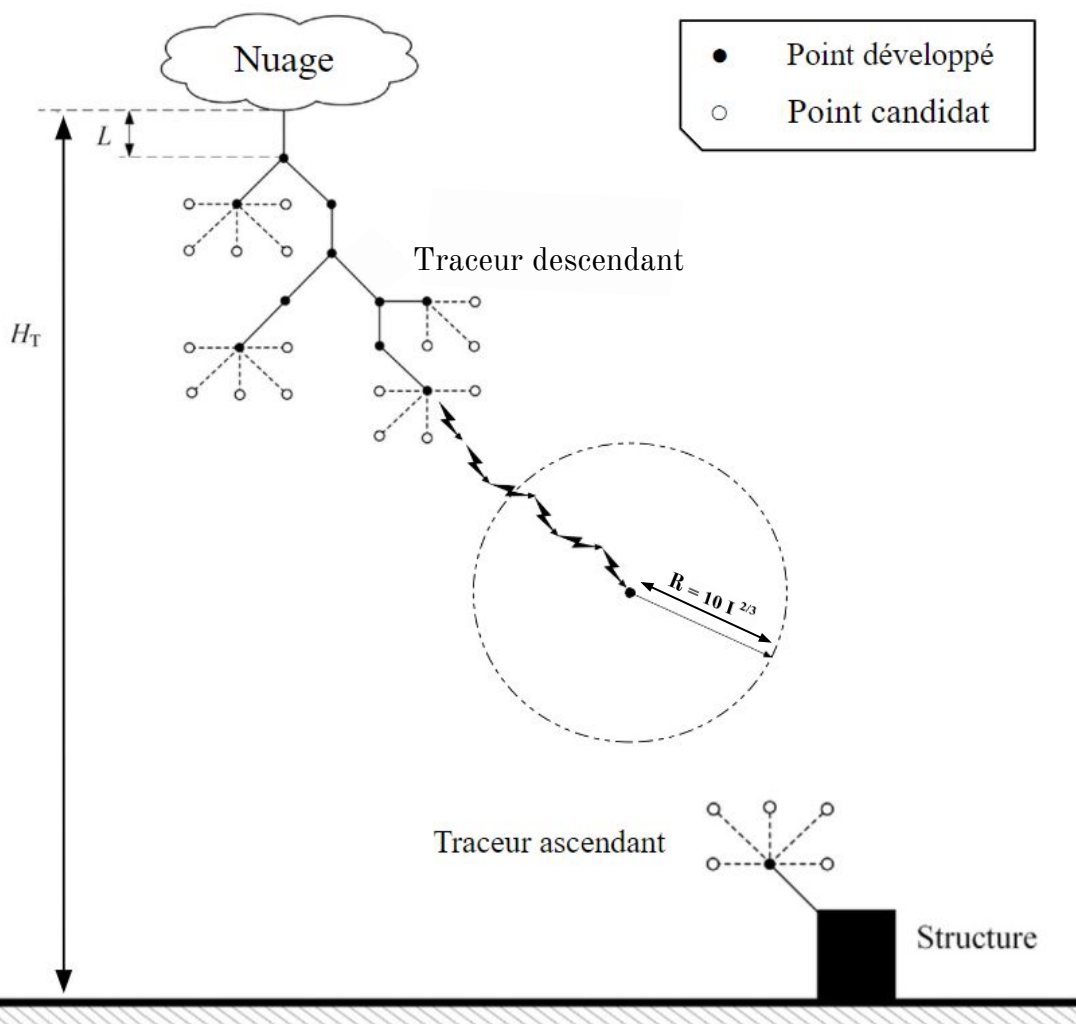




Préliminaire Simulation Validation Application concrète

Modèle de propagation d'un éclair

3/6



-  *Comportement de la foudre ?*
-  *Modèle de développement fractal de foudre non déterministe*
-  *Développement de traceurs ascendants ?*
-  *Champ électrique limite au delà duquel on observe l'apparition de traceurs*
-  *Attachement des traceurs ?*
-  *Modèle de la sphère fictive*

Annexe 3

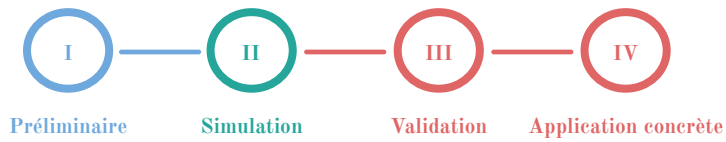


*Développement fractal du nuage jusqu'au sol impossible
(Complexité exponentielle)*



Environnement de travail

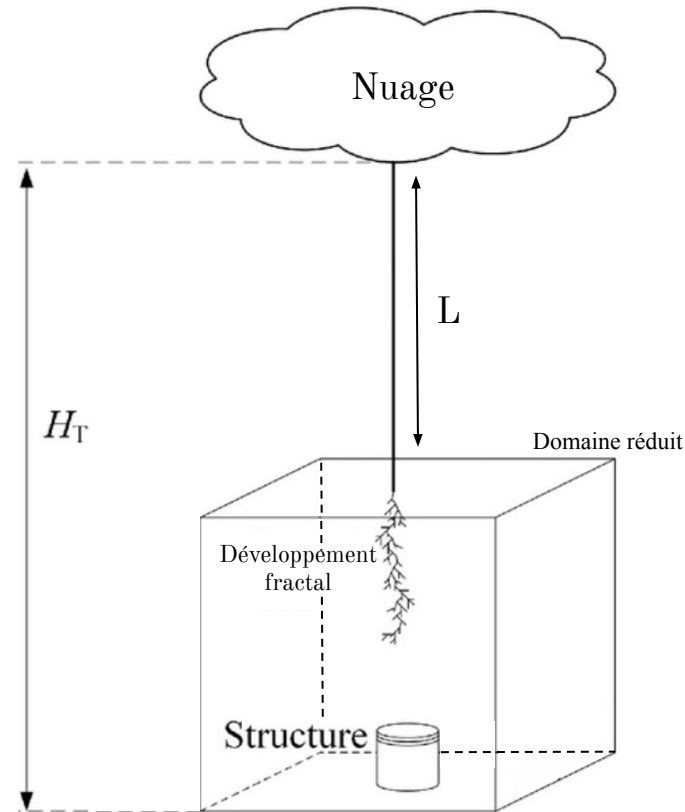
4/6



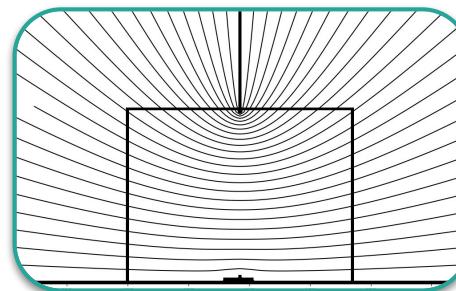
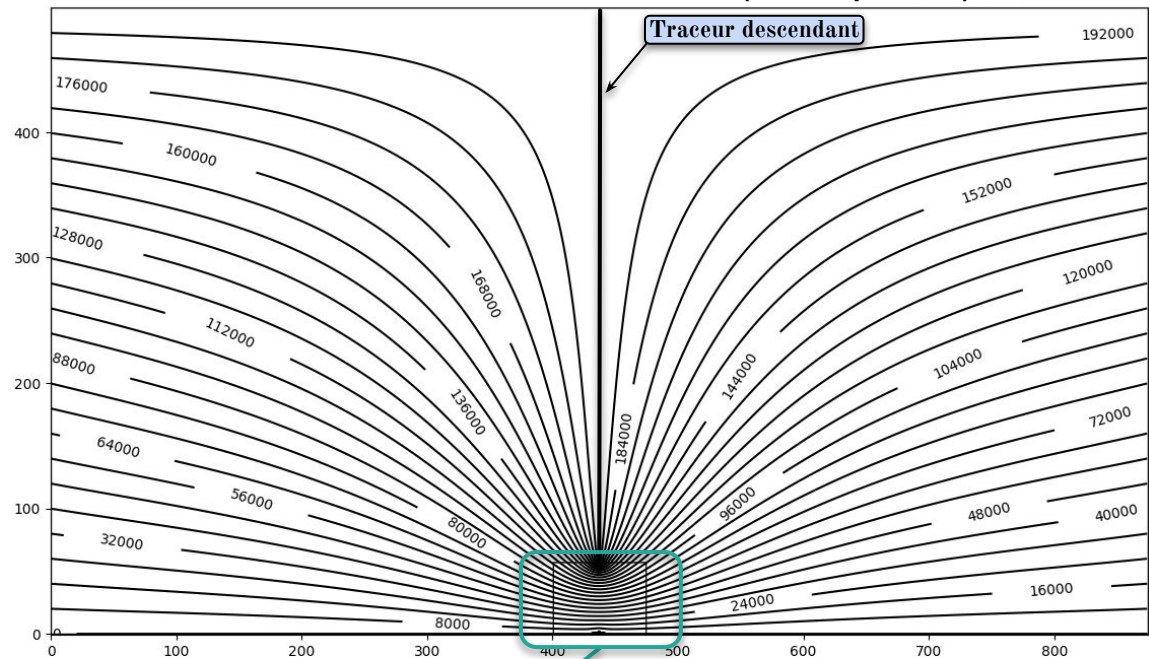
Réduire le nombre de développement



Réduction du domaine et hypothèse sur la propagation du traceur



Zone réduite de calcul (0.25 pix/m)



Conditions aux limites inconnues



Impossible de résoudre

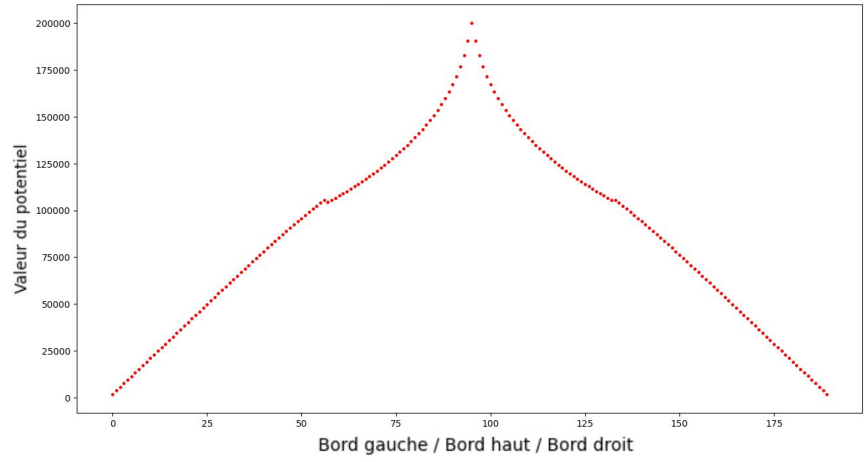


Préliminaire Simulation Validation Application concrète

Conditions de convergence

5/6

Allure du potentiel sur le bord du domaine réduit

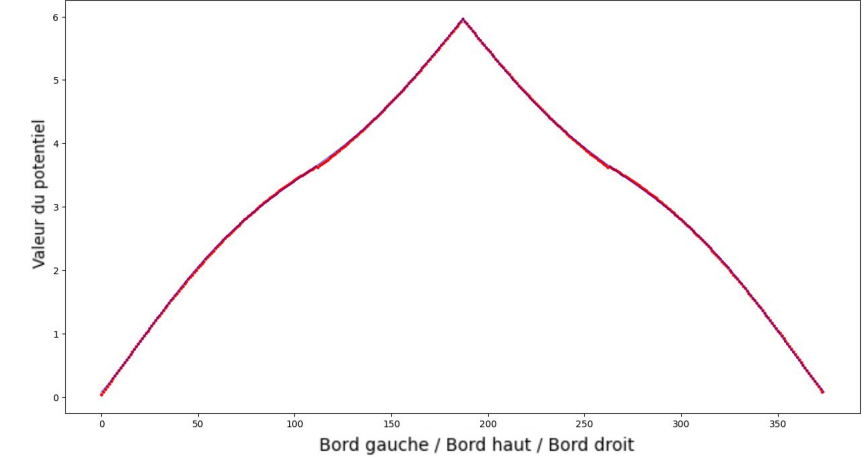


Approximation linéaire

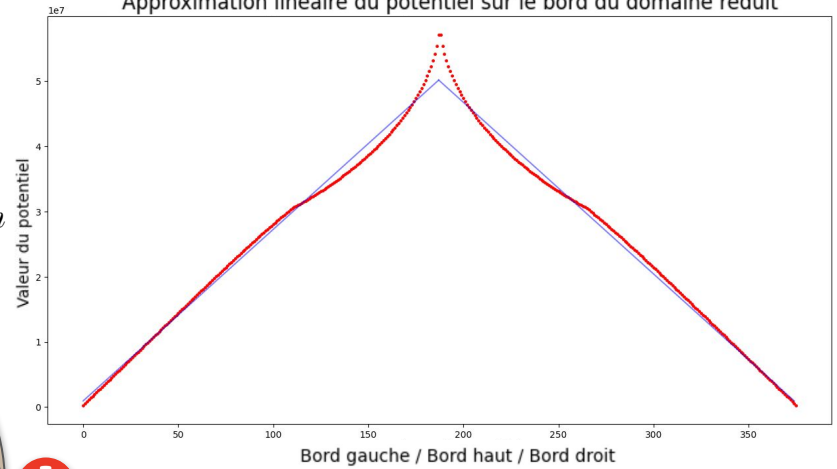


Approximation polynômiale

Approximation du potentiel sur le bord du domaine réduit avec un polynôme de degré 5

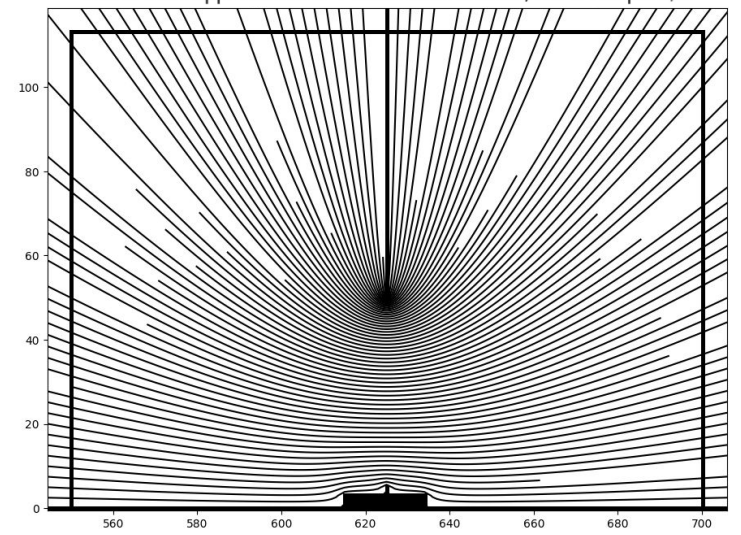


Approximation linéaire du potentiel sur le bord du domaine réduit



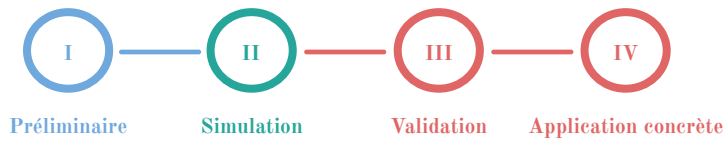
Conditions aux limites changent lors de la propagation

Calcul sans approximation + tracé zone réduite, res = 0.5 pixel/m

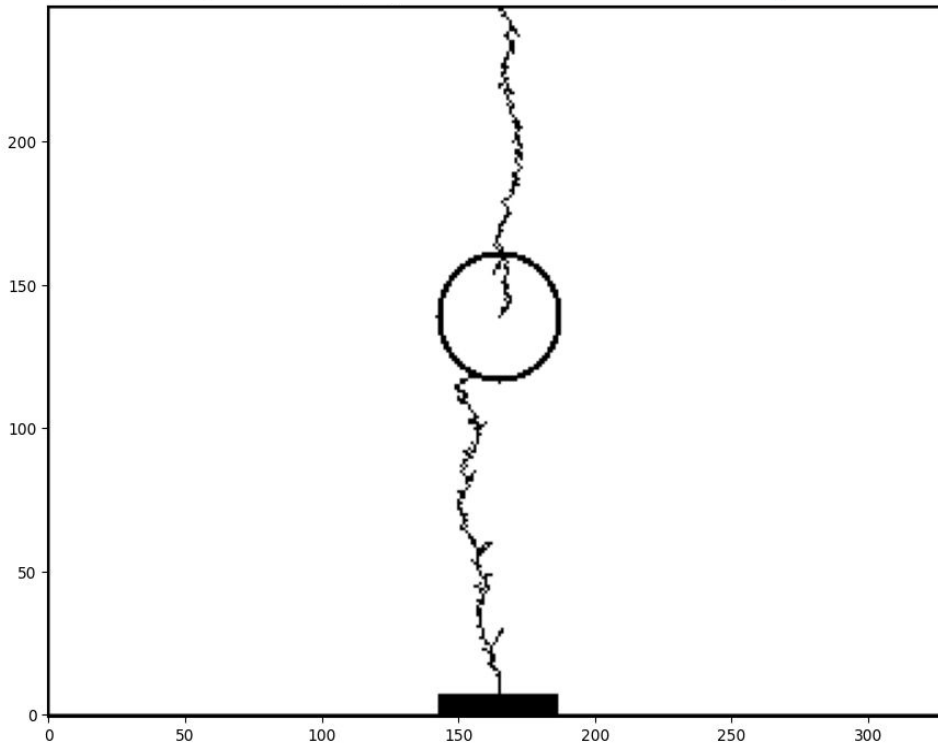


Optimisation du code

6/6



propagation du traceur descendant res = 1 pixel/m



Augmenter la résolution



~ 250 itérations



Méthode de Gauss Seidel

Annexe 4



~ 3h



Annexe 5



Calculs récurrents qui pourraient-être évités

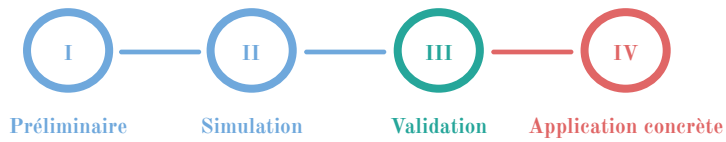


Nouvelle conception de la convergence

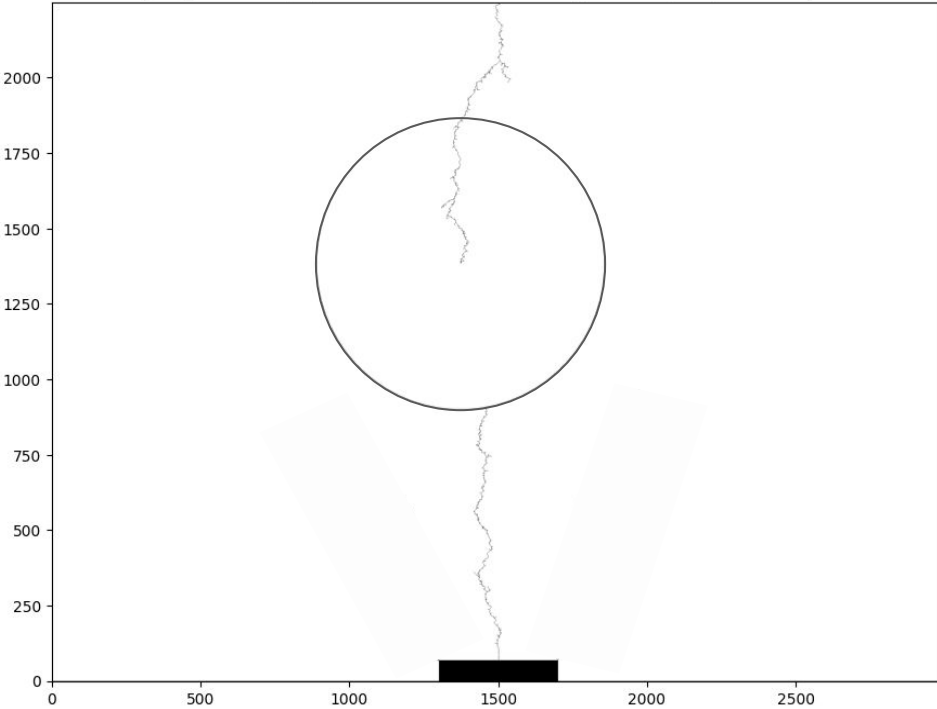
Annexe 6

Densité de foudroiement

1/6



Propagation du traceur descendant, res = 10 pixel/m



Estimation numérique de la densité de foudroiement

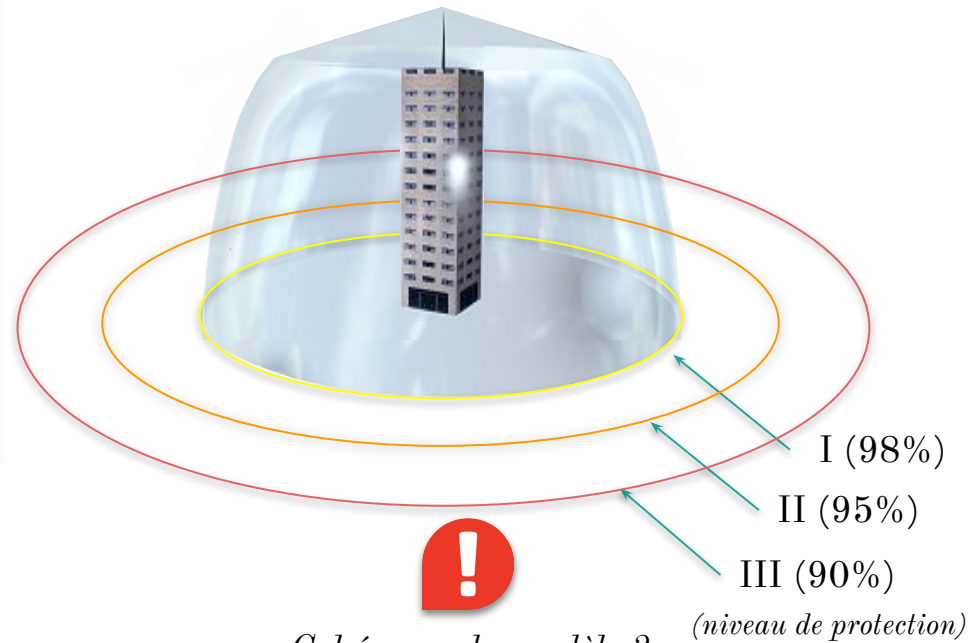


Approche statistique dite de Monte-Carlo

Évaluer la protection fournie par un paratonnerre ?



Interpréter la notion de rayon de protection en terme de densité de foudroiement



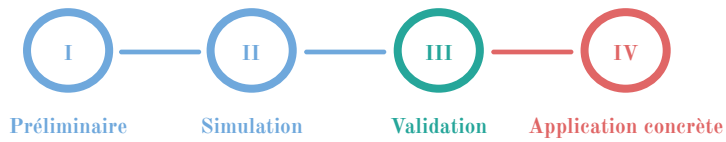
Cohérence du modèle ?



Validation expérimentale des résultats du modèle

Maquette

2/6



Annexe 7

Plateau conducteur suspendu

Générateur de Marx (1MV)



Garantir la cohérence du modèle numérique

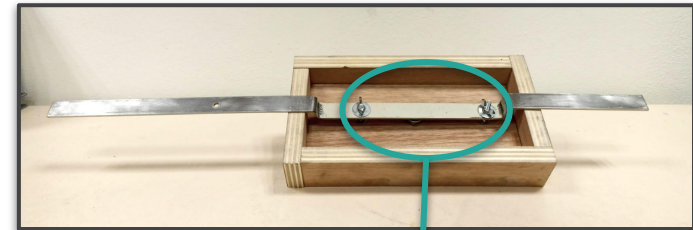


Reproduire le phénomène à échelle réduite

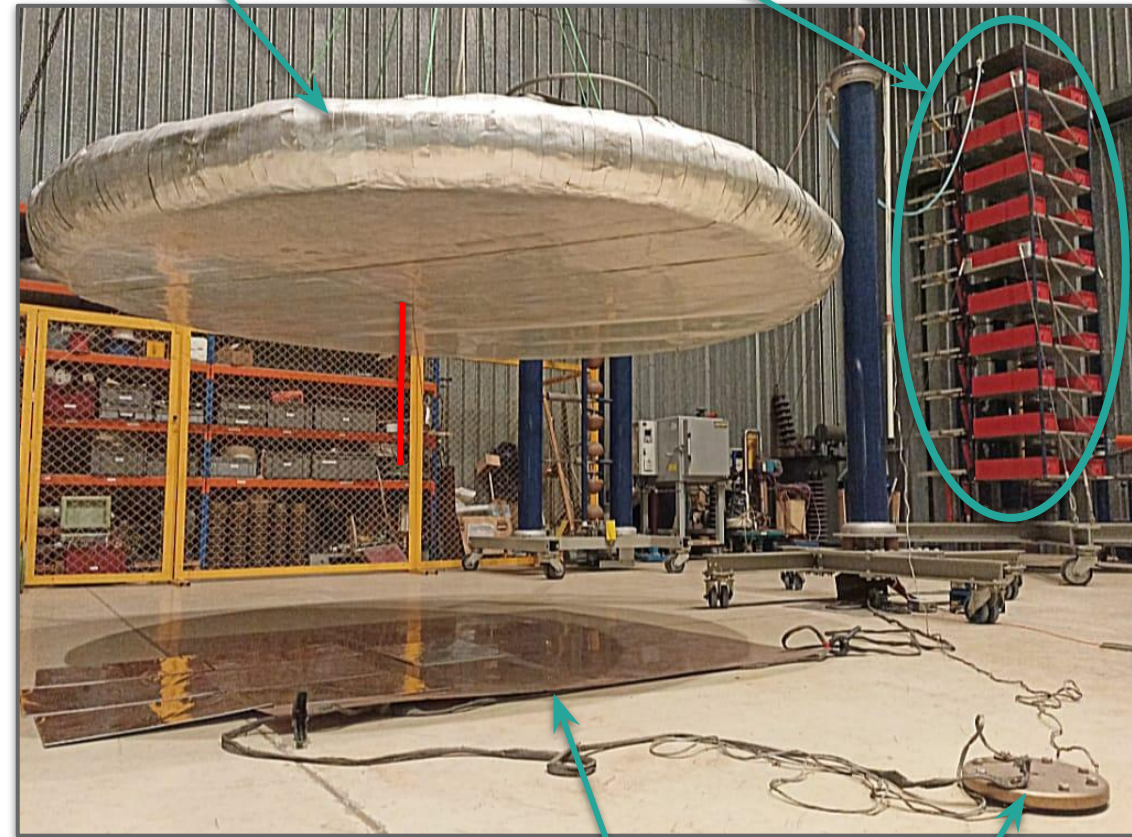
Mise à la terre de la maquette

Annexe 8

Pointe



Système de pression pour assurer le contact entre la pointe et la terre



Laboratoire Ampère 22/02/2023

Plateau de terre

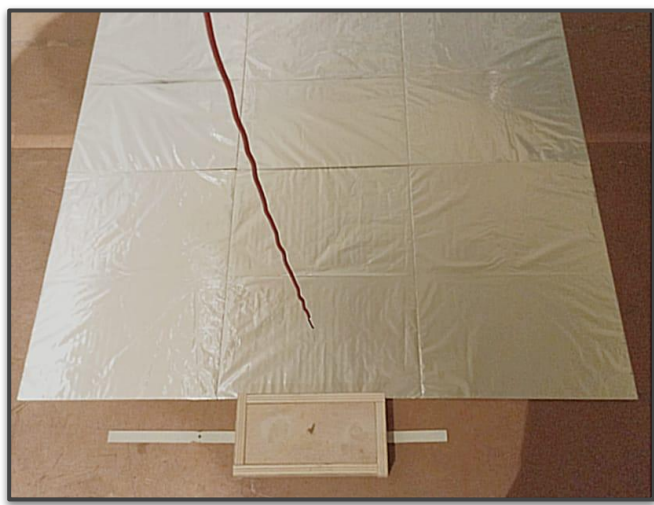
Mise à la terre



Préliminaire Simulation Validation Application concrète

Protocole expérimental

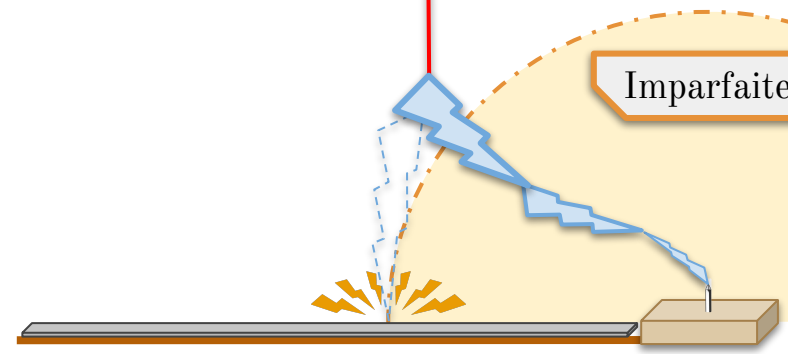
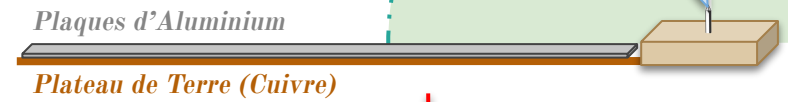
3/6



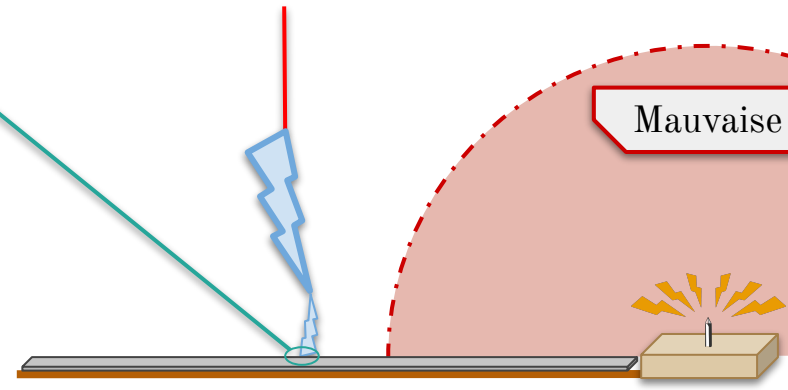
Évaluer expérimentalement la densité de foudroiement autour de la maquette

Protection

Efficace



Imparfaite



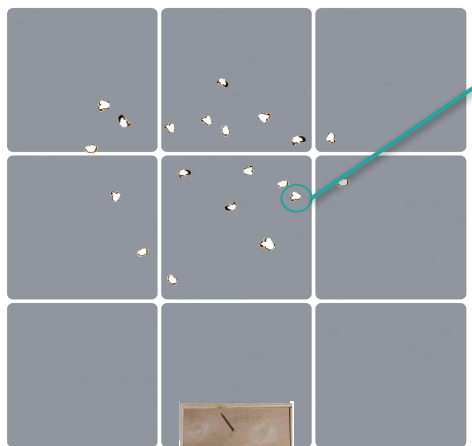
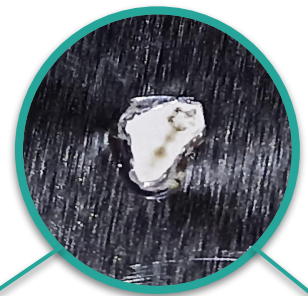
Mauvaise



Visualiser les impacts



Plaques d'Aluminium



Champs électriques critiques inconnus

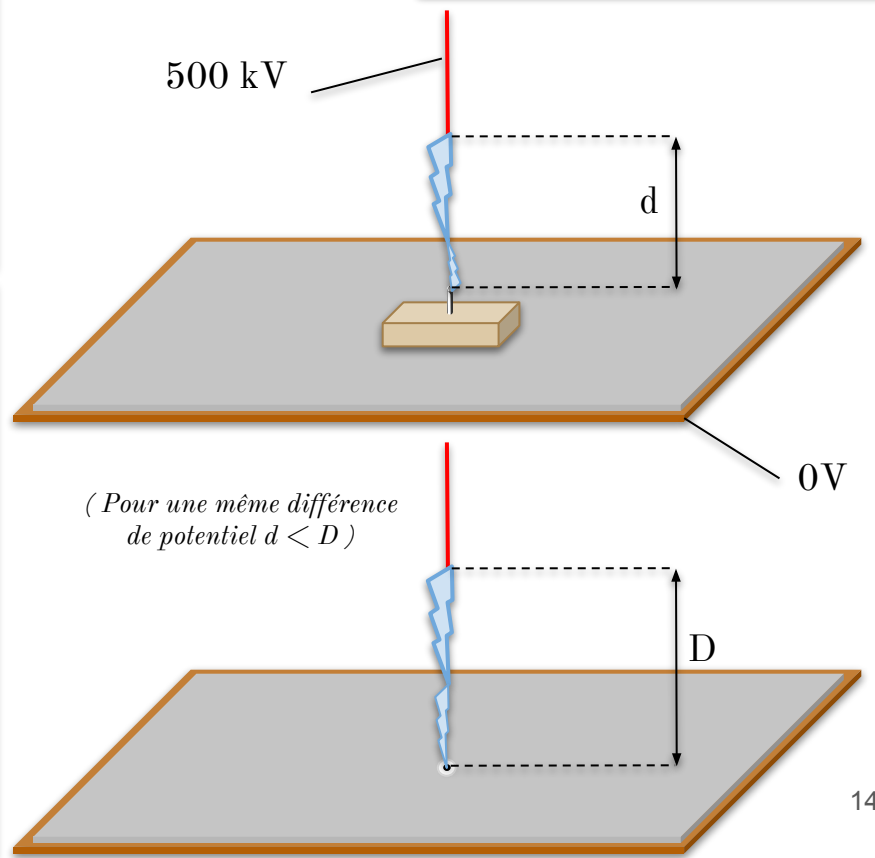
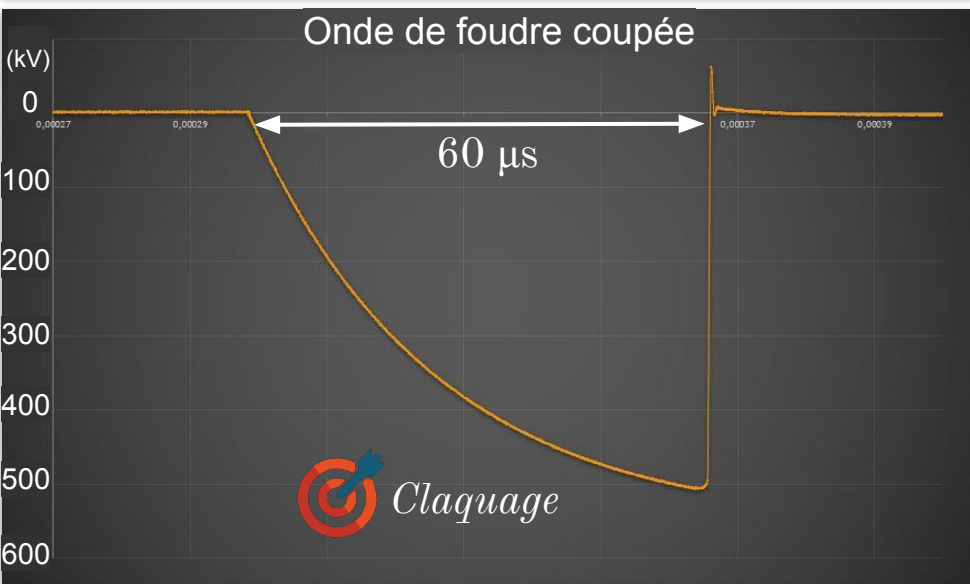
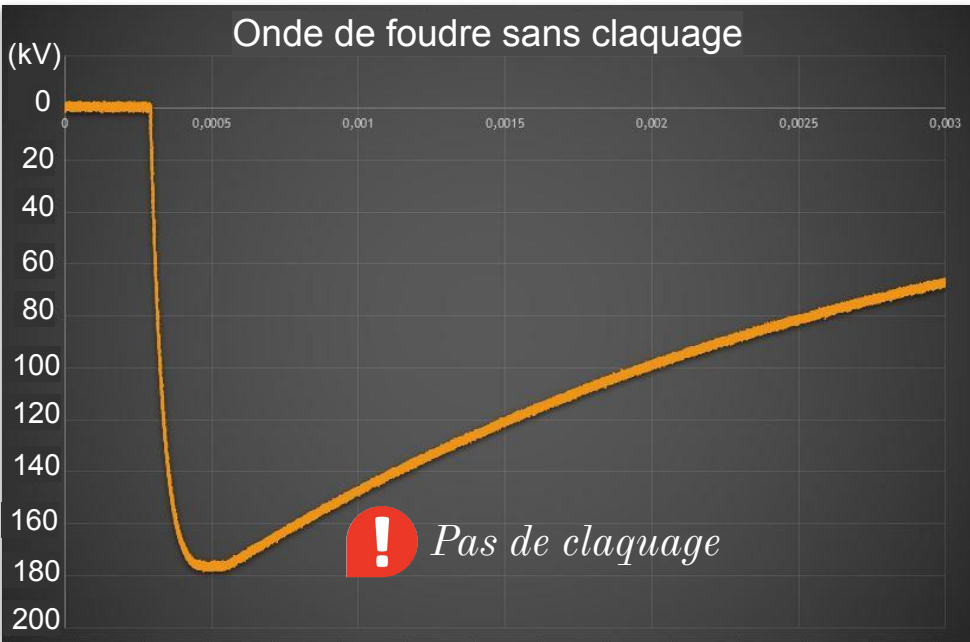


Caractéristiques de la maquette



Déterminer les tensions de claquage entre :

- le fil et la pointe
- le fil et le plan

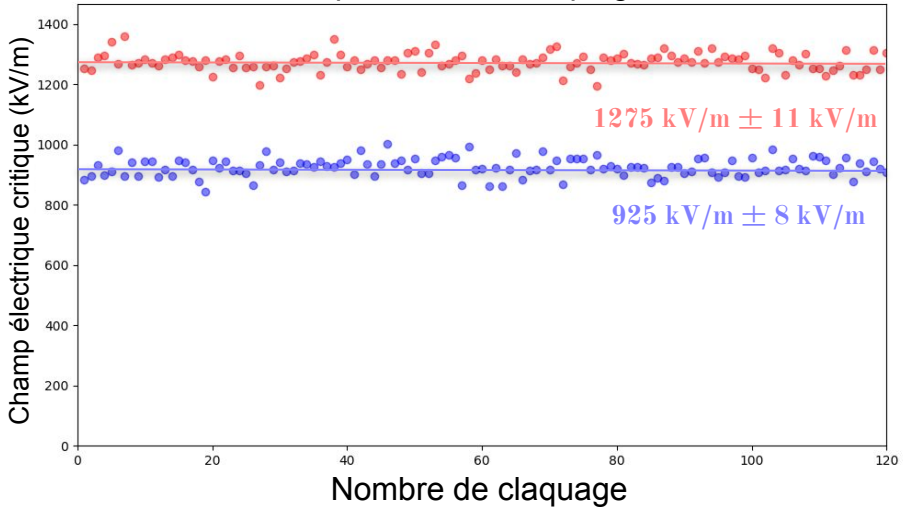




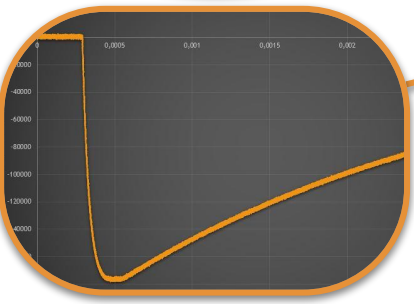
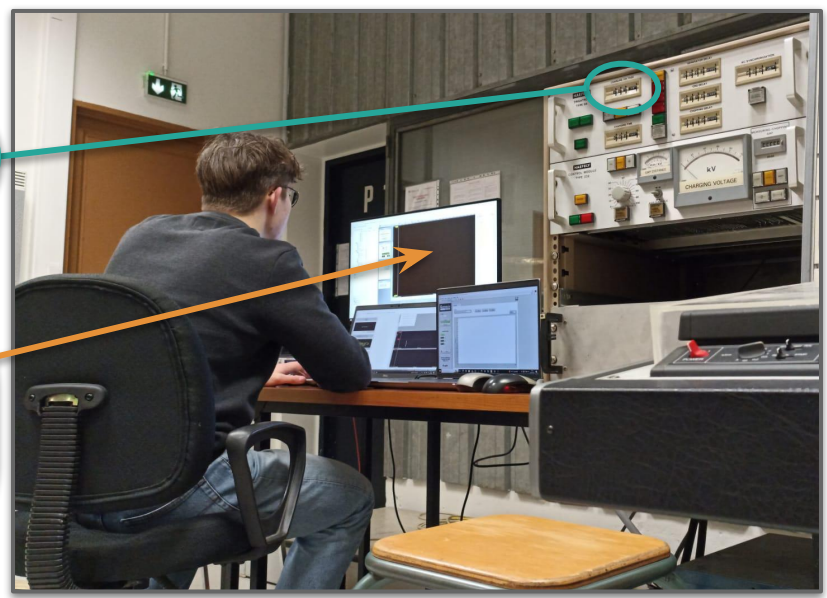
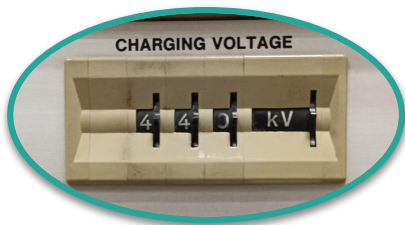
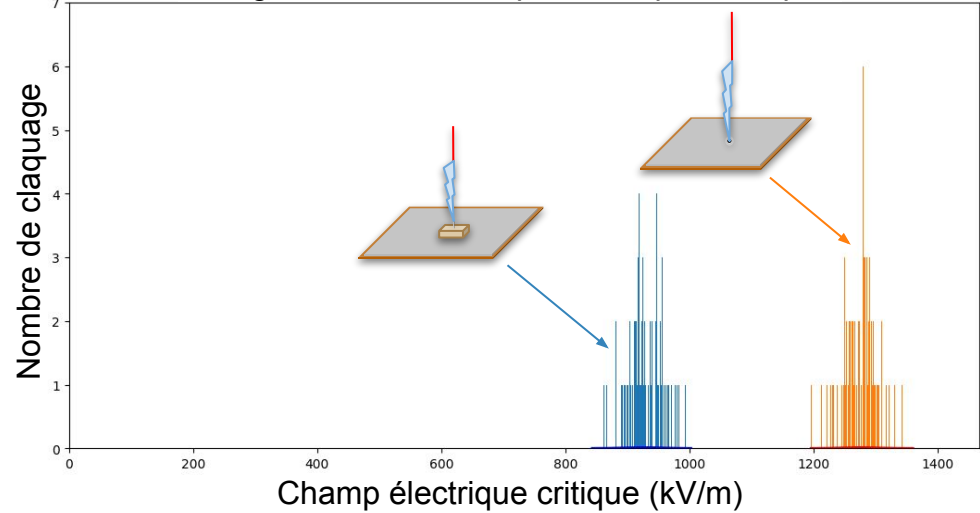
Caractéristiques de la maquette

Préliminaire Simulation Validation Application concrète

Répartition des claquages



Histogramme des champs électriques critiques



Estimer numériquement la densité de foudroiement autour de la maquette

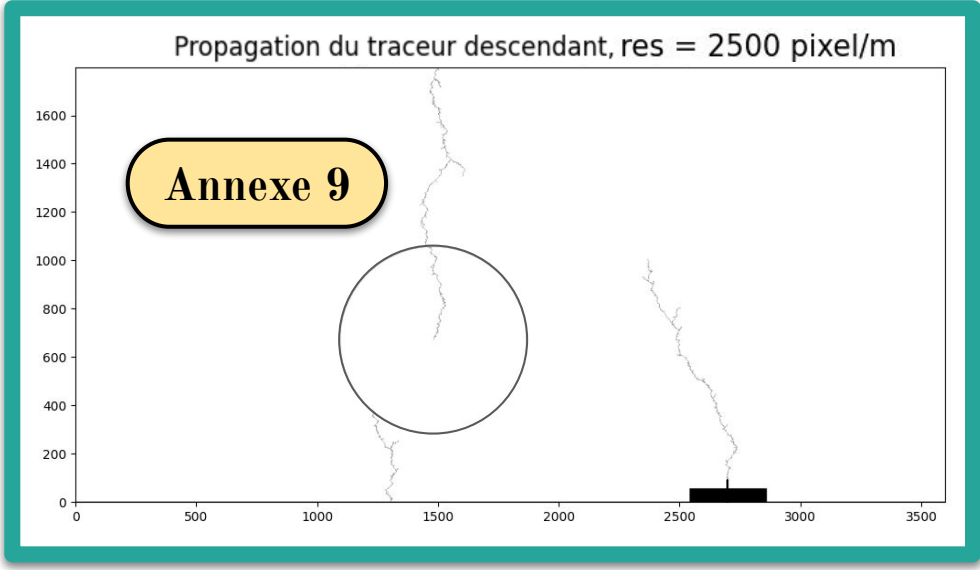


Simuler les mêmes claquages avec les caractéristiques de la maquette

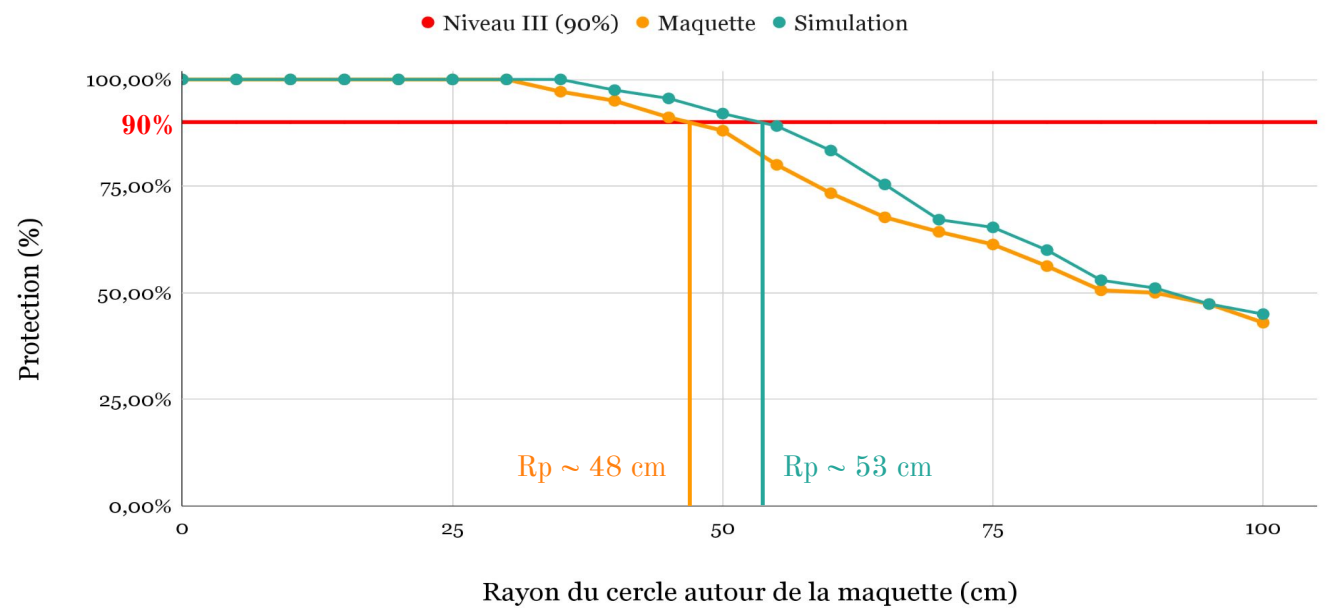


Comparaison maquette/simulation

Préliminaire Simulation **Validation** Application concrète



Pourcentage de protection estimé grâce à la densité de foudroiement autour de la maquette



Rayon de protection estimé par la **Simulation**
 $R_p \sim 53 \text{ cm}$

Rayon de protection estimé avec la **Maquette**
 $R_p \sim 48 \text{ cm}$



Cas concret 1 : Gymnase du lycée

1/3



Comment modéliser un PDA ?

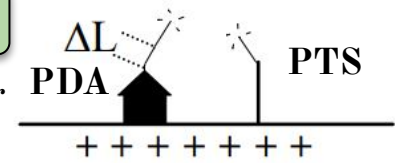
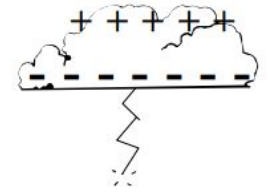
- $\Delta T = 30 \mu s$
- $H = 4 \text{ m}$



Approximation :

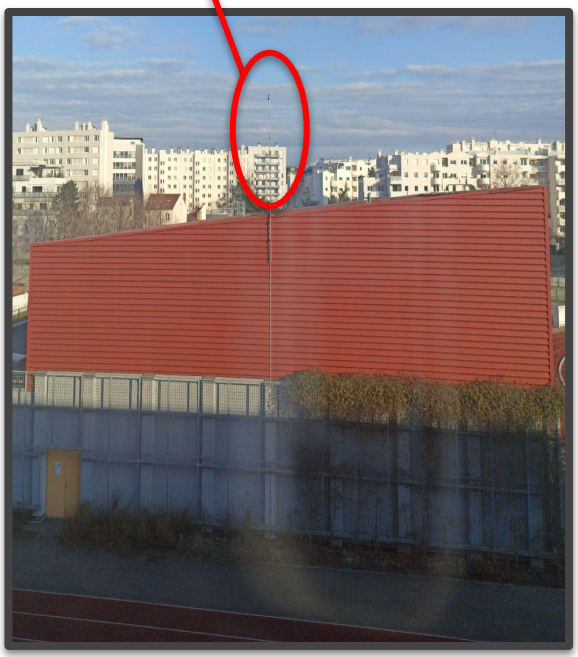
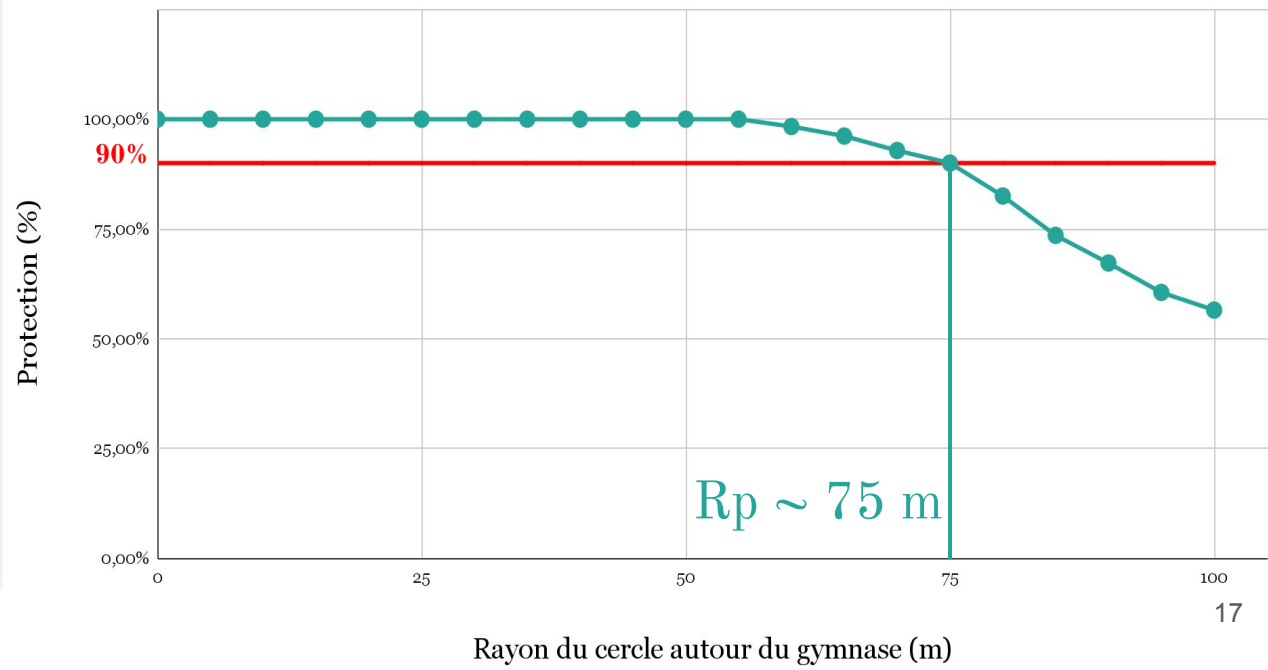
$$PDA = PTS + \Delta L \text{ avec } \Delta L = V \times \Delta T$$

V : vitesse de propagation d'un traceur



Protection dans un cercle autour du gymnase

● Niveau III (90%) ● Simulation



Gymnase et PDA depuis l'internet

Rayon du cercle autour du gymnase (m)

Vue Satellite & Rayon de protection :

Site : Lycée Martinière Monplaisir (69)
Niveau de protection : Np = 1, 2 et 3
Pointe paratonnerre : Bâtiment A : PDA SE15 60 μ s - H = 6 m
Internat 1 : PDA Px4 60 μ s - H = 6 m
Gymnase : PDA SE9 30 μ s - H = 6 m
Rayon de protection : Bâtiment A : RpNp1 = 79 m - RpNp2 = 97 m
Internat 1 : RpNp1 = 79 m - RpNp2 = 97 m
Gymnase : RpNp3 = 72 m
Observation : Les pointes permettent de couvrir la totalité des bâtiment en niveau de protection 1, 2 et 3.

PDA 60 μ s Rp = 97m

PDA 30 μ s Rp = 72m

PDA 60 μ s Rp = 79m

Détermination du Rayon de protection : Les Paratonnerres à Dispositif d'Amorçage (PDA) définissent un rayon de protection. Ce rayon est donné par les constructeurs suite à des essais réalisés en laboratoire. En général, le rayon de protection donné par le constructeur varie en fonction du Niveau de protection (Np) établi par la feuille de calcul du niveau de risque, la hauteur du paratonnerre et son avancée à l'amorçage.



Implantation paratonnerre
Vue Satellite & Rayon de protection
Lycée Martinière Montplaisir - 69008 LYON

Dessin : S. CHATTY - Date 20 01 2009 - Etat : Existant



Cas concret 2 : Cathédrale de Gap

3/3

Préliminaire Simulation Validation Application concrète



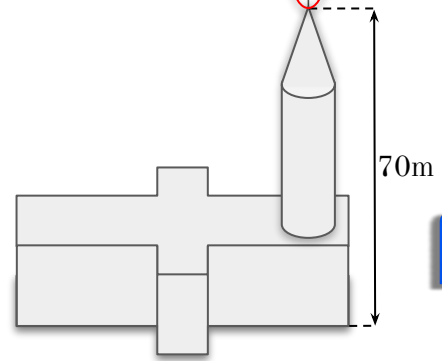
Protection souhaitée : Niveau I (98%)



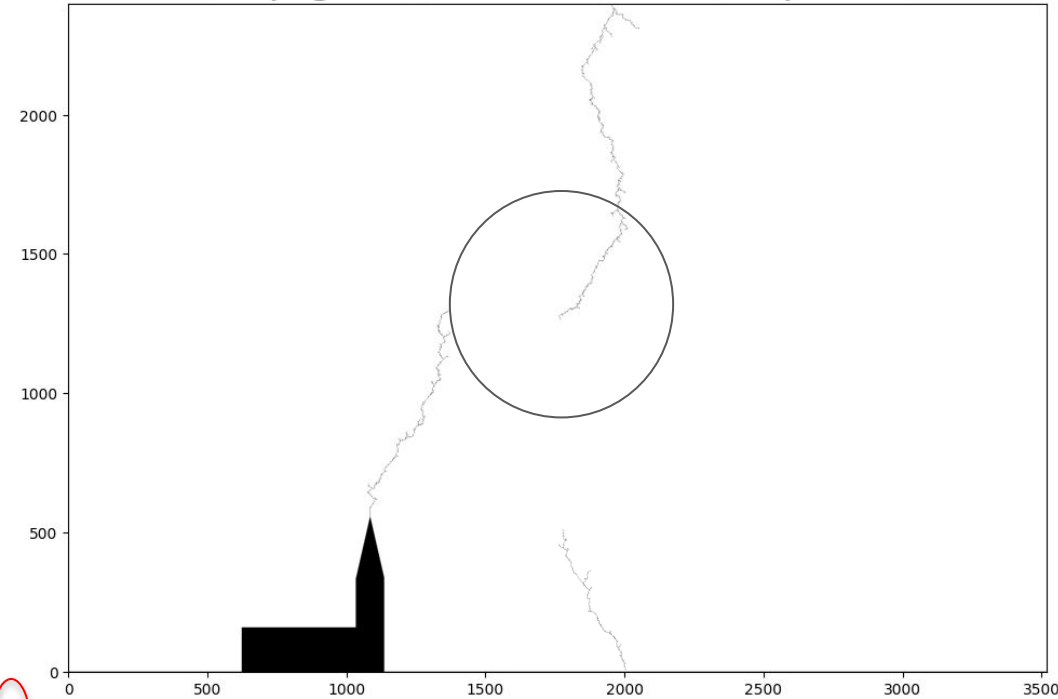
Cathédrale de Gap



→ $\Delta T = 40 \mu s$
 → $H = 5 m$



Propagation des traceurs, res = 8 pixel/m

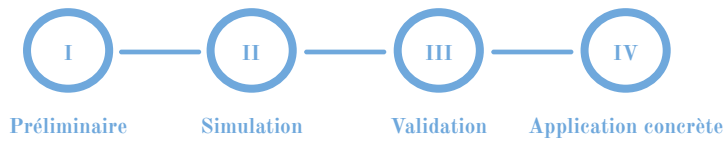


Rayon de protection simulé ~ 64m



Rayon de protection estimé ~ 58m

Conclusion



Gymnase



Rayon de protection surestimé

Erreur : +5%



Cathédrale



Rayon de protection surestimé

Erreur : +10%



Pistes d'amélioration



- Réaliser plus de simulations
- Reconsidérer certaines hypothèses simplificatrices
- Prendre en compte les potentiels traceurs ascendants venant du bâtiment lui-même

Vocabulaire Technique

- ❑ **Traceur** \Leftrightarrow Canal d'air ionisé qui se propage de la base du nuage jusqu'au sol
- ❑ **Attachement des traceurs** \Leftrightarrow jonction entre un traceur ascendant et un traceur descendant qui permet la décharge entre le nuage et le sol
- ❑ **Amorçage** \Leftrightarrow Ionisation de l'air / Départ d'un traceur ascendant
- ❑ **PTS** \Leftrightarrow Paratonnerre à Tige Simple
- ❑ **PDA** \Leftrightarrow Paratonnerre à Dispositif d'Amorçage
- ❑ **Avance à l'amorçage** \Leftrightarrow capacité du PDA à amorcer avant un PTS
- ❑ **Champ électrique critique** \Leftrightarrow Champ électrique nécessaire à l'amorçage
- ❑ **Claquage** \Leftrightarrow Amorçage puis décharge simultanée
- ❑ **Densité de foudroiement** \Leftrightarrow rapport du nombre de traceur interceptés sur le nombre de coup de foudre total dans une zone donnée

Annexe 1

Méthode de Jacobi

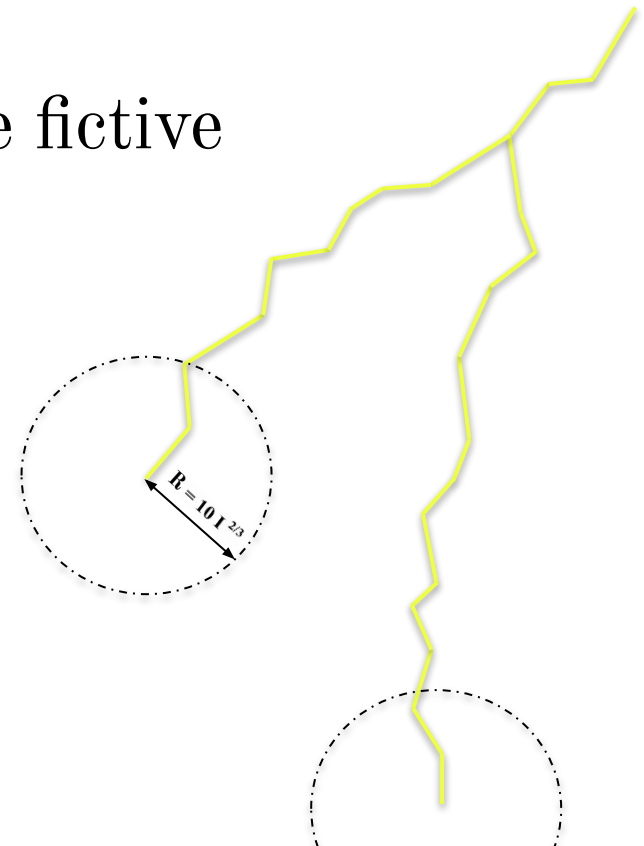
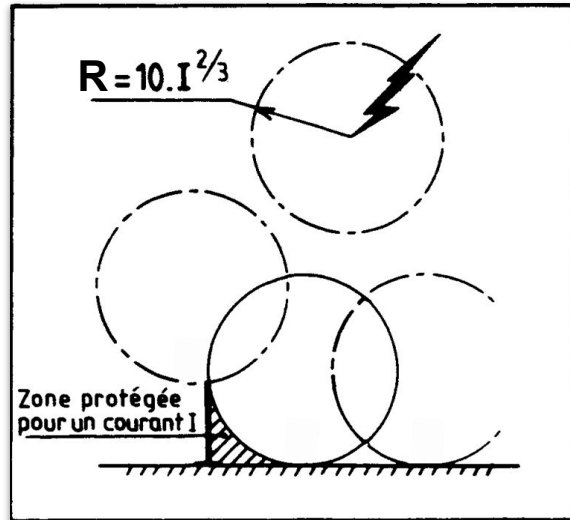
```
99 def ecart(V1,V2):
100
101     Nx = V1.shape[0]
102     Ny = V1.shape[1]
103     diff_carre = 0
104     for i in range(Nx):
105         for j in range(Ny):
106             diff_carre += (V1[i,j]-V2[i,j])**2
107     return (diff_carre/(Nx*Ny))**(1/2)
108
109
110 def iteration_jacobi():
111
112     V_copie = V.copy()
113     for i in range(Nx):
114         for j in range(Ny):
115             if B[i,j]: # si [i,j] est un point du bord ne rien faire
116                 V[i,j] = V_copie[i,j]
117             else:
118                 V[i,j] = (V_copie[i+1,j]+V_copie[i-1,j]+V_copie[i,j+1]+V_copie[i,j-1])/4
119     return ecart(V_copie,V)
120
121 def jacobi(eps):
122
123     compteur = 0
124     while iteration_jacobi() > eps:
125         iteration_jacobi()
126         compteur += 1
127         print(iteration_jacobi() - eps)
128     return compteur
129
```

Approximation discrète du gradient

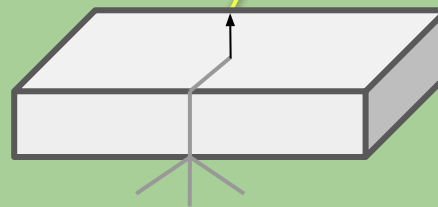
```
37 def calcul_E(V, res_pix_par_m):
38     Ny, Nx = V.shape
39     Ex = numpy.zeros((Ny, Nx))
40     Ey = numpy.zeros((Ny, Nx))
41     norme_E = numpy.zeros((Ny, Nx))
42     for i in range(1, Ny-1): # on évite les bords
43         for j in range(1, Nx-1): # on évite les bords
44             Ey[i, j] = -(V[i+1, j] - V[i-1, j]) / (2. * res_pix_par_m)
45             Ex[i, j] = -(V[i, j+1] - V[i, j-1]) / (2. * res_pix_par_m)
46             norme_E = numpy.sqrt(Ex**2 + Ey**2)
47     return Ex, Ey, norme_E
```

Annexe 3

Modèle de la sphère fictive



NORME AFNOR : NF C 17 102
Protection contre la foudre par paratonnerre
à dispositif d'amorçage



Point d'impact

Méthode de Gauss-Seidel

```

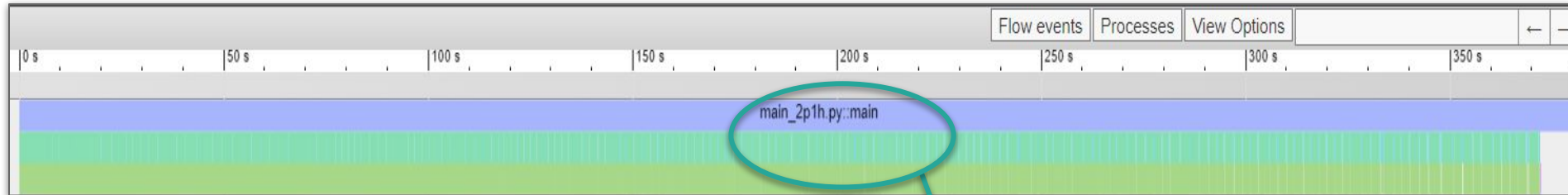
29 def iteration_gauss_seidel_fast(B,V):
30
31     cdef numpy.ndarray[numpy.uint8_t,ndim=2 ] B_cython = B.copy()
32     cdef numpy.ndarray[numpy.double_t,ndim=2] V_update = V.copy()
33     cdef numpy.ndarray[numpy.double_t,ndim=2] V_copie = V.copy()
34     cdef int i,j
35     cdef float diff
36     cdef float omega = 2/(1+numpy.pi/numpy.max(V.shape))
37     cdef int status_vide = StatutB.VIDE
38
39     for i in range(V_update.shape[0]):
40         for j in range(V_update.shape[1]):
41             if B_cython[i,j] != status_vide: # si [i,j] est un point du bord ne rien faire
42                 V_update[i,j] = V_copie[i,j]
43             else:
44                 V_update[i,j] = (1-omega)*V_copie[i,j]+omega*(V_copie[i+1,j]+V_update[i-1,j] +
V_copie[i,j+1]+V_update[i,j-1])/4
45
46         diff = ecart(V_update,V_copie)
47     return V_update, diff
48 def gauss_seidel_fast(B,V,eps):
49
50     start = time.perf_counter()
51     cdef numpy.ndarray[numpy.uint8_t,ndim=2] B_cython = B.copy()
52     V, diff = iteration_gauss_seidel_fast(B_cython,V)
53     while diff > eps:
54
55         V, diff = iteration_gauss_seidel_fast(B_cython,V)
56
57     end = time.perf_counter()
58     print(f"{end - start} s")
59
60     return numpy.asarray(V)

```

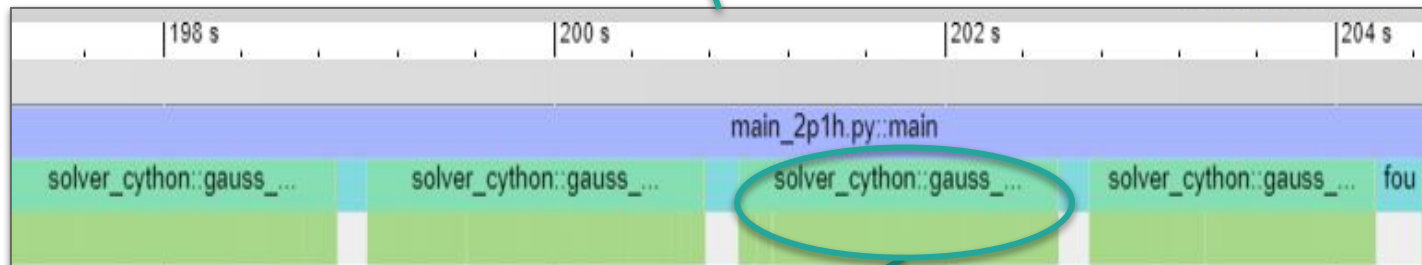
Ordre de grandeur :

Annexe 5

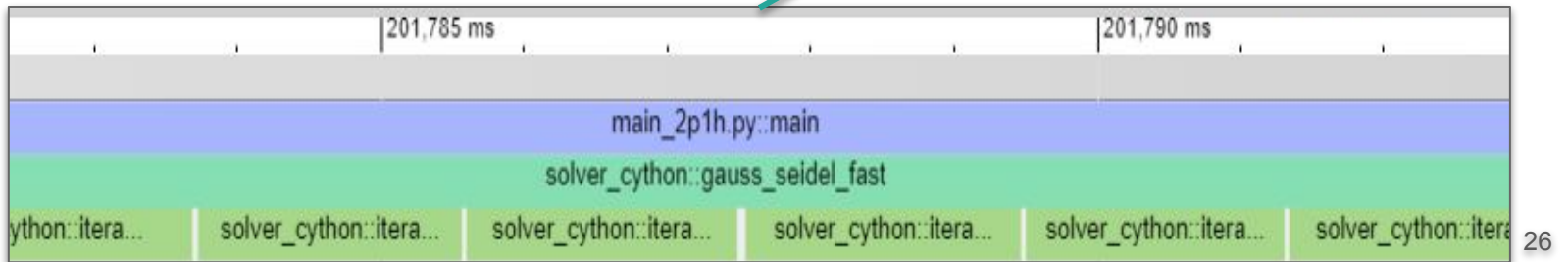
100 s



1 s



1 μ s



Temps de calcul
de chaque itération

Annexe 6

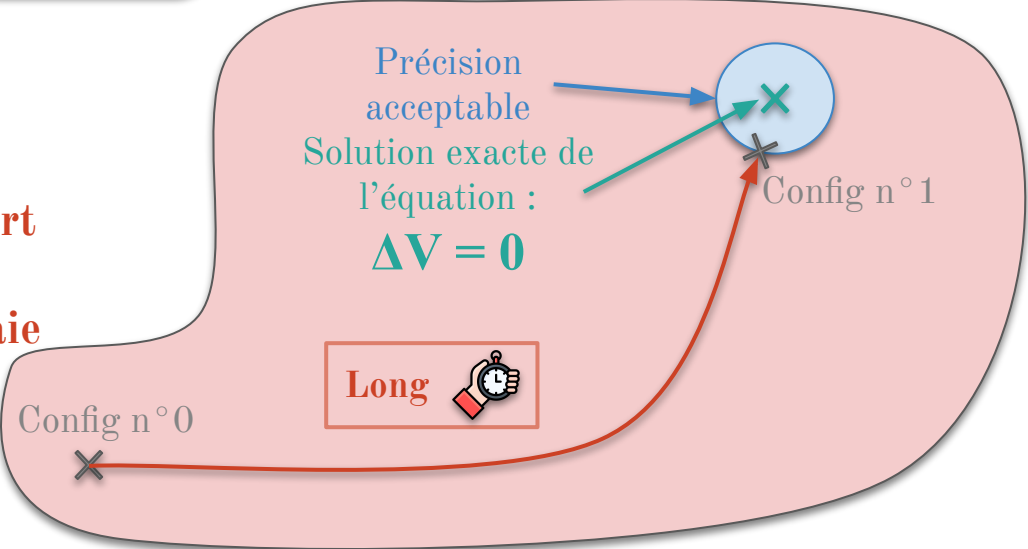
Itération 1

```
>>> (executing file "main_2plh.py")
1 885.4335143000353 s
0.1765552000142634 s
0.1567390999989584 s
0.16958640003576875 s
0.1655382999451831 s
0.16059189999941736 s
0.17333449993748218 s
0.16066870000213385 s
0.19575189996976405 s
0.1619852000148967 s
0.1671277000568807 s
0.17073080001864582 s
0.1609607000136748 s
2 0.197213500039652 s
0.16249080002307892 s
0.3608556999824941 s
0.320059800054878 s
0.4905546000227332 s
0.5168257000623271 s
0.49538060009945184 s
0.16618239996023476 s
1.002148500061594 s
1.21922850003466 s
0.6921047000214458 s
0.3416099000023678 s
0.18860999995376915 s
0.36069779994431883 s
0.8464939999394119 s
0.5190997000318021 s
```

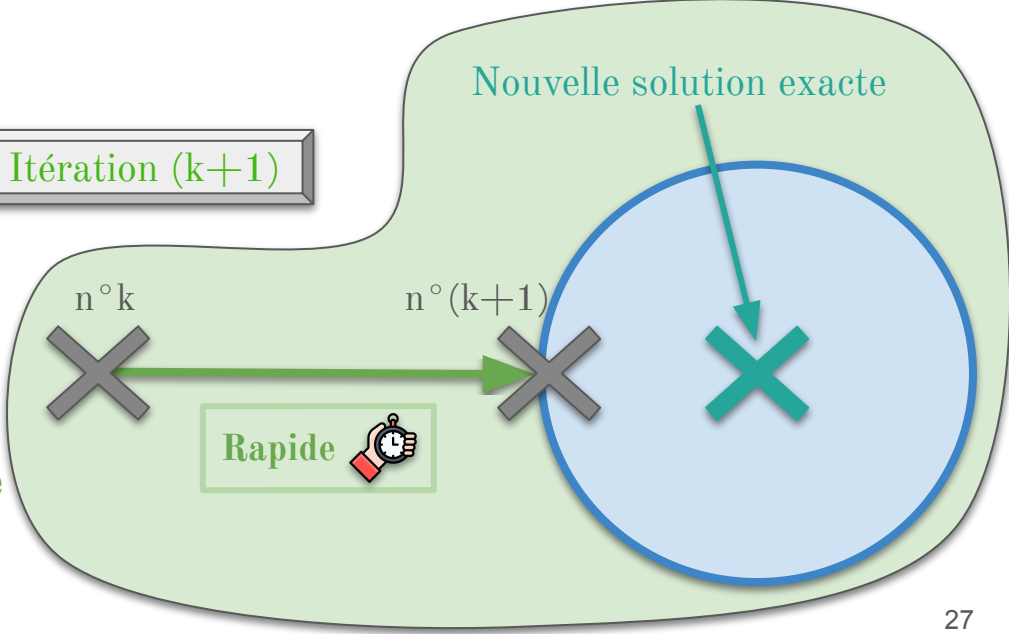
1
Configuration de **départ**
très loin
de la Configuration **vraie**

Nouvelles
Conditions Limites

2
Configuration de **départ**
très proche
de la Configuration **vraie**



Itération (k+1)

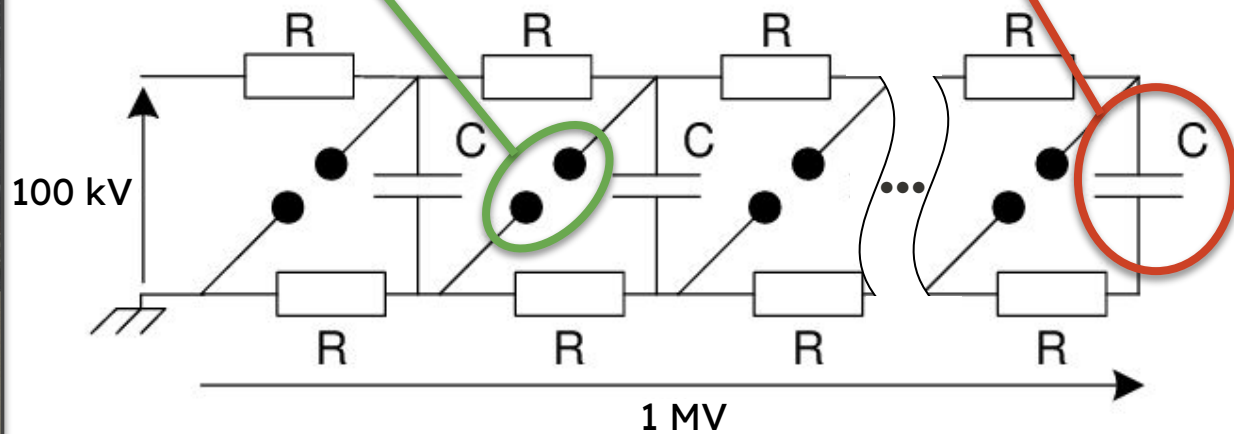


Annexe 7

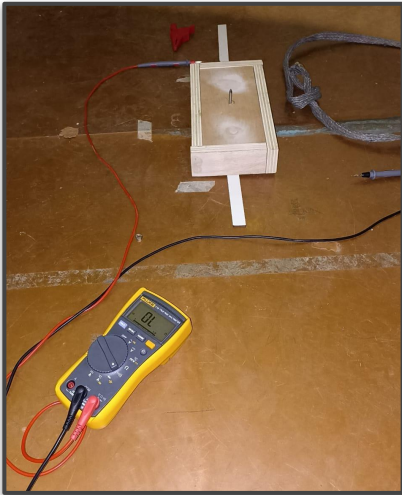
Générateur de Marx
(1 MV)



Éclateur



Annexe 8



Mauvaise conductivité avec la terre

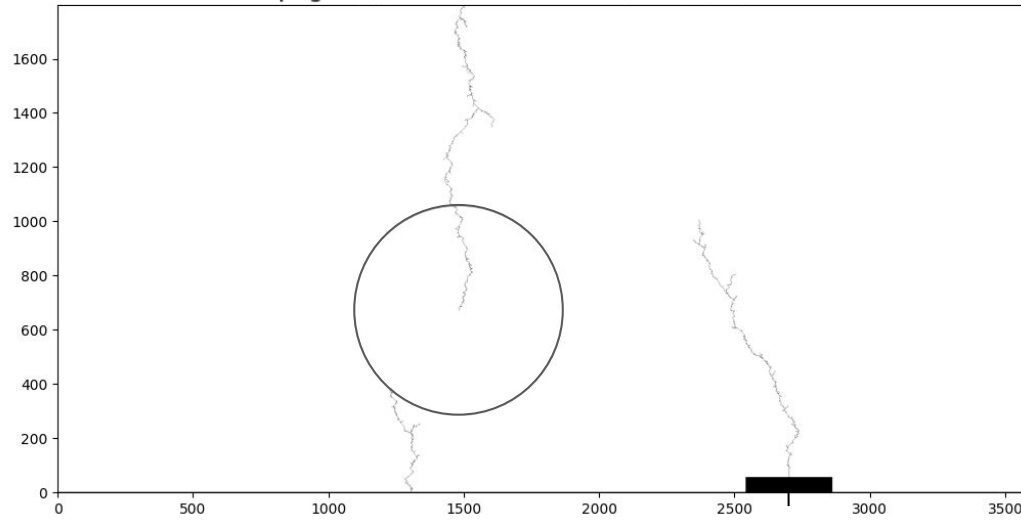


Ponçage



Annexe 9

Propagation du traceur descendant, res = 2500 pixel/m



Propagation du traceur descendant, res = 2500 pixel/m

